

# All Optical frequency switching of cavity solitons based on localized modulation

Shayesteh Rahmani Anbardan<sup>1</sup>, Mansour Eslami<sup>2</sup>, Reza Kheradmand<sup>1,\*</sup>

<sup>1</sup>Photonics Group, Research Institute for Applied Physics and Astronomy (RIAPA), University of Tabriz,  
Tabriz, Iran

<sup>2</sup>Department of Physics, University of Guilan, P.O. Box 41335-1914 Rasht, Iran

Received: 04.10.2020 Final revision: 10.05.2023 Accepted: 12.05.2023

Doi: [10.22055/jrmbs.2023.18295](https://doi.org/10.22055/jrmbs.2023.18295)

## Abstract

Local sinusoidal modulation of cavity solitons in an injected Vertical-Cavity Surface-Emitting Laser<sup>1</sup> above the laser threshold is numerically investigated and their synchronization in a unidirectional interaction regime is discussed. An all-optical frequency switch based on the synchronization of cavity solitons in this regime is proposed and its performance is quantified by two important parameters: 1) external force threshold and 2) response time of the switching. Our study shows that cavity solitons can be used as all-optical frequency switches with a speed that meets the requirements of optical operations.

**Keywords:** Cavity Soliton, (Vertical-Cavity Surface-Emitting Laser) VCSEL, Self-sustained, Synchronization

\* Corresponding Author: r\_kheradmand@tabrizu.ac.ir

## سوئیچ زنی فرکانسی تمام نوری سالیتون‌های کاواک بر پایه مدولاسیون

### موضوعی

شاپیسته رحمانی ابادان<sup>۱</sup>، منصور اسلامی<sup>۲</sup>، رضا خردمند<sup>۱\*</sup>

<sup>۱</sup>گروه فوتونیک، پژوهشکده فیزیک کاربردی و ستاره‌شناسی، دانشگاه تبریز، تبریز، ایران

<sup>۲</sup>گروه فیزیک، دانشکده علوم پایه، دانشگاه گیلان، رشت، ایران

دریافت: ۱۴۰۲/۰۲/۱۸ ویرایش نهایی: ۱۴۰۲/۰۲/۲۰ پذیرش: ۱۴۰۲/۰۷/۱۳

Doi: [10.22055/jrmsbs.2023.18295](https://doi.org/10.22055/jrmsbs.2023.18295)

### چکیده

مدولاسیون سینوسی موضوعی سالیتون‌های کاواک در یک لیزر نشرکننده از سطح کاواک بالای حد آستانه لیزرزایی به‌طور عددی مورد مطالعه قرار گرفته و همزمانی آنها در یک رژیم برهمنشی یک طرفه بحث شده است. در ادامه، سوئیچ فرکانسی تمام نوری مبتنی بر این رژیم همزمانی سالیتون‌های کاواک معرفی شده است و عملکرد آن بر اساس دو شاخص مهم (۱) آستانه نیروی خارجی و (۲) زمان پاسخ سوئیچ زنی از نظر کمی بررسی گردیده است. مطالعات ما نشان می‌دهد که استفاده از سالیتون‌های کاواک به عنوان سوئیچ‌های فرکانسی تمام نوری که سرعتی مناسب با نیاز ارتباطات نوری دارند امکان پذیر می‌باشد.

**کلیدواژگان:** سالیتون کاواک، لیزر نشرکننده از سطح کاواک، خود تقویت کننده، همزمانی

اطلاعات) امکان‌پذیر است. فرآیندهای غیرخطی در این برهمکنش‌ها منشأ فیزیکی ساختمان سوئیچ‌ها، گیت‌ها، میانگیرها و دیگر افزارهای فوتونیکی در مدارات نوری می‌باشند [۱-۳].

یکی از پیشرفت‌های اساسی در زمینه ارتباطات نوری، معرفی سالیتون‌های کاواک به عنوان عناصر اطلاعات مستقل و قابل آدرس‌دهی است [۴]. این سالیتون‌ها نقاط موضعی نور هستند که در یک پس‌زمینه کم شدت قرار دارند. امکان شکل‌گیری این سالیتون‌ها در انواع کاواک‌های نوری غیرخطی با ویژگی‌های متفاوت و کاربردهای بالقوه از جمله قابلیت روشن و خاموش شدن به صورت منفرد [۵] و یا در حالت دو یا چند قله‌ای [۶] و یا به صورت ایستا یا چرخان [۸] و یا حتی

### مقدمه

روش‌های نوری در فناوری اطلاعات از اهمیت خاصی برخوردارند، زیرا استفاده از این روش‌ها امکان عملکرد سریع، کم مصرف و موازی افزارهای بسیار کوچک (در ابعاد نانو) را ممکن می‌سازد. به عنوان مثال مصنوبیت فوتون‌ها در برابر ناهمدوسی، که مهمترین دلیل تلفات اطلاعات قلمداد می‌شود، آنها را به‌طور منحصر به‌فرد برای چنین فناوری‌هایی مناسب می‌سازد. با این حال کترول آنها در چنین مقیاسی یک چالش عمده به‌شمار می‌رود. روش‌های عملی برای دست یافتن به‌چنین کترولی به‌واسطه برهمکنش‌های نور با ماده برای هدایت و دستکاری فوتون‌ها (و در نتیجه

r\_kheradmand@tabrizu.ac.ir \*

باز نشر این مقاله با ذکر منبع آزاد است.

این مقاله تحت مجوز کریتو کامنز تخصیص ۴.۰ بین‌المللی می‌باشد.



برای توصیف دینامیک سیستم با استفاده از معادلات زیر داده می‌شوند [۱۸ و ۱۹]:

$$\begin{aligned}\dot{E} &= \sigma(P - E_I - (1+i\theta)E + i\nabla^2 E) \\ \dot{D} &= -b[1/2(E^*P + EP^*) + D - J - d\nabla^2 D] \\ \dot{P} &= \Gamma(1+i\Delta)[(1-i\alpha)D(1-\beta D)E - P]\end{aligned}$$

۱

در روابط فوق  $E$  و  $P$  به ترتیب میدان کاواک و پلاریزاسیون ماده می‌باشند،  $D$  چگالی حامل‌ها،  $\sigma$  نرخ واهلش کاواک،  $b$  نرخ واهلش حامل‌ها،  $E_I$  میدان تزریقی،  $\theta$  ناکوکی بین کاواک و میدان تزریقی،  $a$  فاکتور افزایش پهنه‌ای باند،  $J$  جریان تزریقی،  $d$  ثابت پخش حامل‌ها و  $\beta$  ضریب بهره غیرخطی است. پراش توسط عملگر لاپلاس  $\nabla^2$  توصیف می‌شود. شاخص زمان، توسط زمان واهلش پلاریزاسیون (که از مرتبه ۱۰-۱۳ ثانیه است) و شاخص مکان، توسط ریشه مجدور پارامتر پراش (که از مرتبه ۴-۵ میکرومتر است)، بهنجار شده است. در این مقاله

$$\Gamma(D) = 2.308D + 1.206 / \sqrt{1+\alpha^2}$$

$$\delta(D) = 0.155D - 0.146$$

$$\Delta = -\alpha + 2\delta / \Gamma$$

که  $\Gamma(D)$  پهنه‌ای خط بهره است و  $\delta(D)$  ناکوکی بین فرکانس مرجع و فرکانسی است که در آن بهره ماکزیمم می‌شود. برای حل معادلات دینامیکی از روش گام مجزا مبتنی بر تبدیل فوریه با شرایط مرزی پریودیک استفاده می‌شود. در این روش قسمت جبری و لاپلاسی معادلات به صورت مجزا و مستقل از هم حل می‌شوند. قسمت جبری با استفاده از الگوریتم رانجه-کاتا حل شده در حالی که برای عملگر لاپلاسی یک تبدیل فوریه سریع پذیرفته شده است. تحلیل پایداری خطی

در تعامل با یکدیگر [۹] وجود دارد. تاکنون مطالعات گسترده‌ای بر روی قابلیت بالقوه سالیتون‌های کاواک در پردازش تمام نوری اطلاعات انجام شده است. به عنوان مثالی در این زمینه می‌توان به بررسی اثر سالیتون‌ها در افزایش پهنه‌ای باند مدولاسیون [۱۰] کاربرد سالیتون‌ها به عنوان حافظه‌های فلیپ-فلاب [۱۱] استفاده از سالیتون‌ها به عنوان گیت‌های AND/OR [۱۲] و شانه‌های فرکانسی [۱۳-۱۶] اشاره کرد.

در این مقاله با بهره‌گیری از دینامیک همزمانی دو سالیتون کاواک در یک لیزر نشر کننده از سطح کاواک [۱۷] امکان استفاده از سالیتون‌های کاواک را به عنوان سوئیچ‌های فرکانسی تمام نوری مورد مطالعه و بررسی قرار دادیم. پس از بررسی پاسخ مدولاسیونی یک لیزر نشر کننده از سطح کاواک با تزریق خارجی در هنگام میزبانی یک سالیتون کاواک، و با بهره‌گیری از این واقعیت که نوسانات شدت سالیتون‌های کاواک، زمانی که برهم‌کنش آنها یک طرفه است می‌توانند همزمان شوند به این صورت که سالیتون قوی‌تر سالیتون ضعیفتر را مجبور به تکرار ریتم نوسانی خود می‌کند [۱۷]. به بحث در مورد قدرت برهم‌کنش و بازده همزمانی به ازای فواصل و ناکوکی‌های فرکانسی مختلف پرداخته و یک سوئیچ فرکانسی تمام نوری ارائه داده شد.

## مدل

لیزر نیم‌رسانای مورد مطالعه در این مقاله از نوع VCSEL می‌باشد که شامل ساختار چاه کوآنتموی چندگانه GaAs/AlAs به عنوان محیط فعال است و انرژی سیستم توسط یک پرتو نگهدارنده ایستا و پهن و همچنین یک جریان الکتریکی که آستانه لیزرزایی را تأمین می‌کند، فراهم می‌شود. معادلات ماسکول-بلاخ

<sup>۱</sup> Frequency comb

قفل شدگی تزریقی و قفل نشده را از هم جدا می‌کند را به‌ازای پارامترهای مختلف نشان می‌دهد.

برای سوئیچ زنی سالیتون‌های کاواک در این سیستم، پرتوهای نویسنده با شدت  $E_{sw}$  و با پهنه‌ای  $W$  در مرکز نقاط  $(x_i, y_i)$  به پرتو نگهدارنده اضافه می‌شوند:

۲

$$E_{sw} = e^{-[(x-x_i)^2 + (y-y_i)^2]/2W}$$

بعد از اینکه سالیتون‌ها با موفقیت روشن شدند، پرتو نگهدارنده با استفاده از یک تابع هارمونیک مدوله می‌شود:

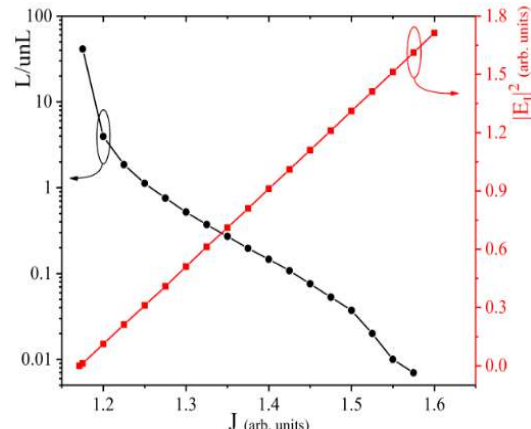
۳

$$E_I(\tau) = E_I \{1 + m \sin(\omega\tau)\}$$

که در رابطهٔ فوق  $m$  دامنهٔ یا قدرت مدولاسیون و  $\omega$  فرکانس مدولاسیون نامیده می‌شوند.

شکل ۲‌الف پاسخ مدولاسیون سیستم در یک نقطه دلخواه در پس زمینه و همچنین در قلهٔ سالیتون  $CS_1$  را در زمانی که فقط یک سالیتون وجود دارد و همچنین در حضور سالیتون دیگر نشان می‌دهد. طبق نمودار، فرکانس تشدييد در هر دو حالت در فرکانس  $10^3$  گیگاهرتز اتفاق می‌افتد. به علاوهٔ این نمودار نشان می‌دهد که پس زمینه نیز در این فرکانس پاسخ بیشتری نشان می‌دهد. نکتهٔ قابل توجه در این نمودار این است که تقویت نوسانات ورودی در قلهٔ سالیتون کاواک در حضور سالیتون دوم ضعیفتر می‌شود. به عبارت دیگر حضور سالیتون دوم موجب سرکوب بهرهٔ نوری در پاسخ به تحریک تشدييدی می‌شود.

جواب‌های هموزن و پایا به‌وسیلهٔ بررسی پاسخ سیستم به اختلال‌های کوچک حول حالت پایا انجام می‌گیرد. به‌ازای مقادیر  $b = 10^{-4}$ ,  $\alpha = 0.052$ ,  $d = 0.052$ ,  $\beta = 0.125$ ,  $\sigma = 4 \times 10^{-2}$ ,  $\theta = -2$  سیستم دو پایایی نشان می‌دهد و همچنین قابلیت شکل‌گیری حالت‌های فضایی و سالیتون‌های کاواک در این شرایط وجود دارد. لازم به‌ذکر است که جریان آستانه این سیستم  $J_{th} = 1.17$  است. از سوی دیگر، سیستم‌های نیمرسانا با تزریق خارجی متحمل ناپایداری زمانی که ناشی از دوشاخگی هوپف (Hopf) است، می‌شوند. این ناپایداری منجر به رفتار آشفته در پروفایل گسیلی لیزر نیمرسانا قبل از نقطه قفل شدگی تزریق می‌شود. بنابراین سالیتون‌هایی که در این ناحیه شکل



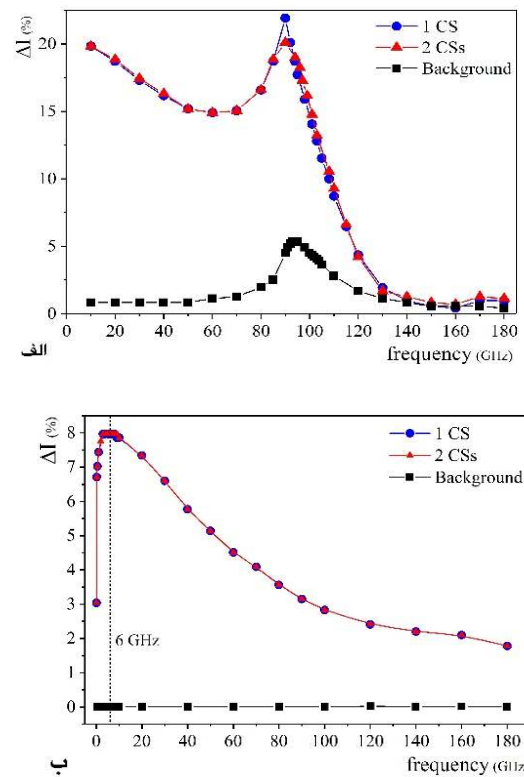
شکل ۱. ناحیه قفل نشده در حال پیشروی در نتیجهٔ ناپایداری هوپف (محور سمت راست-مربع‌های قرمز) و منطقهٔ پایدار در حال پیشروی که به صورت نسبت منطقه قفل شده به قفل نشده نشان داده شده است (محور سمت چپ-دایره‌های مشکی) برحسب افزایش جریان پمپ.

می‌گیرند دارای شدت و فاز نوسانی خواهند بود [۲۰]. از آنجائی که در سیستم مورد مطالعه ما نیاز است که سیستم دور از چرخه‌های حدی، که از انشعاب هوپف ناشی می‌شوند، قرارداشته باشد در هنگام انتخاب مقادیر پارامترها باید دقت شود که سیستم در ناحیه قفل شدگی تزریق قرار گیرد. شکل ۱، مرز هوپف، که ناحیه

نتایج شبیه‌سازی، همان‌طور که در شکل ۲ ب آورده شده است، نشان می‌دهد که تقویت نوسانات هارمونیک ورودی در قله  $CS_1$  در حضور و بدون حضور سالیتون دوم هیچ تفاوتی ندارد و فرکانس تشدید در فرکانس خیلی کمتری (حدود ۶ گیگا‌هرتز) نسب به حالت قبل اتفاق می‌افتد. همان‌طور که انتظار می‌رود نقطه‌ای از پس زمینه که در فاصله‌ای بیشتر از طول پخش حاملین قرار دارد هیچ تغییرات شدتی را تجربه نمی‌کند زیرا نوسانات جمعیت ناشی از مدولاسیون موضعی نمی‌تواند مسیر بیشتری را قبل از بازترکیب حاملین طی کند.

هم‌زمانی، تنظیم ریتم اجسام نوسان‌کننده به‌دلیل برهم‌کنش ضعیف بین آنهاست [۲۱]. در کاری که اخیراً انجام شده [۱۷]، به بررسی همزمانی بین دو سالیتون کاواک با اعمال یک پرتو کنترلی مدوله شده در زمان به هر یک از آنها به صورت مستقل پرداختیم و شرایطی را معرفی کردیم که در آن سالیتون‌ها می‌توانند با فرکانس نوسانی یکسان (هم‌زمان) نوسان کنند. با مطالعه دو حالت مختلف با ناکوکی ( $v_1 - v_2 = v\Delta$ ) کم و زیاد نشان دادیم که نیرویی ( $\epsilon_1/\epsilon_2$ ) به اندازه کافی قوی لازم است تا نوسانات دو سالیتونی که فرکانس مدولاسیون آنها به مقدار قابل توجهی از هم متفاوت است را همزمان کنند. به عبارت دیگر نوسان‌گر مغلوب مجبور به نوسان با فرکانس نوسان‌گر غالب می‌شود.

در این مقاله بر اساس تئوری مطرح شده فوق یک سوئیچ فرکانسی تمام نوری مطرح کرده و برای اینکه عملکرد سوئیچ مطرح شده را از نظر کمی بررسی کنیم، دو پارامتر مهم را مورد مطالعه قرار می‌دهیم: ۱- آستانه نیروی خارجی و ۲- زمان پاسخ سوئیچ به‌ازای



شکل ۲. پاسخ مدولاسیون در قله سالیتون، زمانی که سالیتون تنهاست (دایره‌های آبی) و در حضور سالیتون دوم ( مثلث‌های قرمز) و همچنین در یک نقطه دلخواه در پس زمینه (مریع‌های مشکی). الف: پاسخ مدولاسیون پرتو نگهدارنده، قوی‌ترین پاسخ در فرکانس  $10^3$  گیگا‌هرتز داده شده و شدت جریان الکتریکی ۱۰ درصد بالای آستانه است. ب: پاسخ مدولاسیون موضعی، قوی‌ترین پاسخ در فرکانس ۶ گیگا‌هرتز داده شده.

در شبیه‌سازی مشابهی پاسخ سیستم به مدولاسیون موضعی سالیتون نیز بررسی شد، بدین صورت که پرتو نویسنده با استفاده از معادله  $^4$  مدوله گردید:

$$E_i(\tau) = \epsilon_i \sin(v_i \tau); i = 1, 2$$

۴

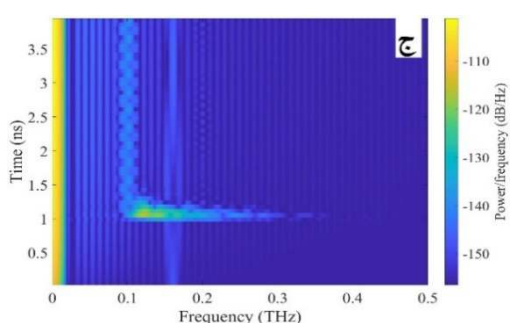
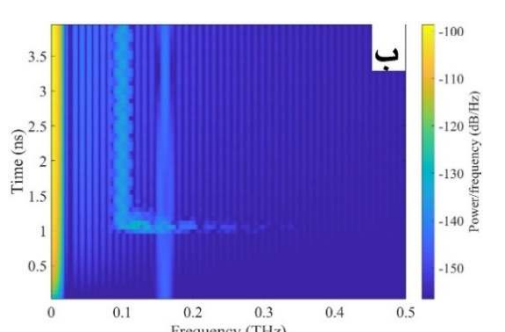
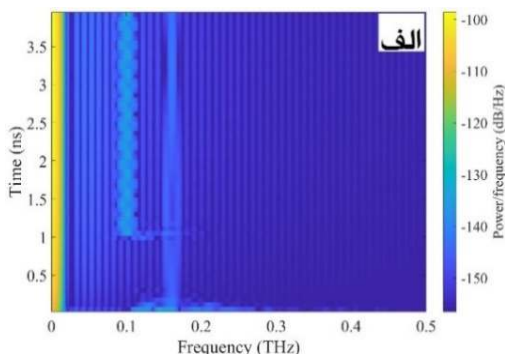
در این معادله  $\epsilon_i$  و  $v_i$  به ترتیب قدرت و فرکانس مدولاسیون موضعی هستند.

فواصل بیشتر مورد نیاز است. همچنین این نمودار بیان می‌کند که در ناکوکی‌های منفی برای فواصل کمتر نیروی کمتری مورد نیاز است، به عبارتی در ناکوکی‌های منفی، همزمانی فقط در فاصله  $85.u$  یا کمتر امکان‌پذیر است اگرچه در این فاصله یک پرتو کترلی با فاز مخالف پرتو نگهدارنده برای جلوگیری از یکی شدن سالیتون‌ها مورد نیاز است. لازم به ذکر است که زمان لازم برای ادغام شدن سالیتون‌ها بسیار بیشتر از زمان سوئیچ‌زنی نانوسوئیچ مورد بررسی است. بنابراین ایده نانو سوئیچ فرکانسی بر پایه سالیتون‌های کاواک جدا از اعمال پرتو کترلی در مرکز خط و اصل دو سالیتون برای جلوگیری از یکی شدن آنها به قوت خود باقی است. شکل ۳ب نمودار مشابه با شکل ۳الف است با این تفاوت که در این نمودار فرکانس مدولاسیون سالیتون غالب ثابت و برابر با  $100$  گیگاهرتز در نظر گرفته شده است. با مقایسه روند مشاهده شده در دو نمودار فوق این نتیجه حاصل می‌شود که همزمانی و سوئیچ‌زنی، هم به قدرت (دامنه مدولاسیون) سالیتون غالب و هم به فرکانس آن بستگی دارد. به عنوان مثال در شکل ۳ب که فرکانس سالیتون غالب ثابت و کافی است، همزمانی برای تمام ناکوکی‌های مثبت و منفی به خصوص در فواصل کم اتفاق می‌افتد. به طوری که در فواصل بیشتر برای برقراری همزمانی فقط نیرو اهمیت پیدا می‌کند. ولی طبق شکل ۳الف زمانی که فرکانس سالیتون غالب متغیر است، علامت ناکوکی اهمیت پیدا می‌کند، به علاوه نیرو به گونه‌ای است که همزمانی در فرکانس‌های منفی، فقط

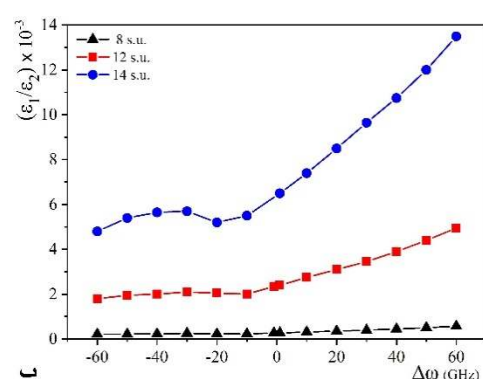
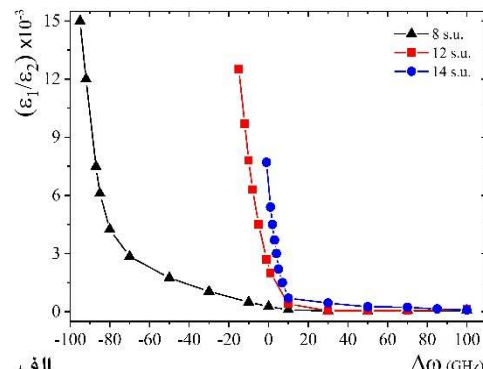
ناکوکی‌های مختلف و فواصل مختلف دو سالیتون کاواک.

اخیراً نشان داده شده که در یک لیزر تزیری قفل شده، نیروی جاذبه‌ای بین دو سالیتون وجود دارد که این نیرو به صورت نمایی با فاصله سالیتون‌ها کاهش می‌یابد و بعد اثر آن بیشتر از قطر سالیتون است. وجود این نیرو در نهایت منجر به ادغام سالیتون‌ها و شکل‌گیری یک سالیتون می‌شود [۲۲]. از طرف دیگر برای برقراری یک همزمانی مؤثر و داشتن یک سوئیچ پربازده، بهتر است که سالیتون‌ها در کمترین فاصله ممکن نسبت به هم قرار گیرند. به همین منظور در این کار برای غلبه بر نیروی جاذبه بین دو سالیتون از یک پرتو با شدت بسیار کم و با فاز مخالف نسبت به پرتو نگهدارنده که در مرکز خط و اصل دو سالیتون اعمال می‌شود استفاده می‌کنیم. این کار به‌ما کمک می‌کند که از یکی شدن سالیتون‌ها جلوگیری کنیم. همچنین این کار اجازه نوشتن سالیتون‌ها در فاصله‌ای کمتر برای داشتن همزمانی مؤثرتر را می‌دهد. ما آستانه همزمانی (سوئیچ‌زنی) را جایی تعریف می‌کنیم که دامنه فرکانس مغلوب در قله سالیتون  $CS_2$  از  $1/e$  دامنه فرکانس غالب بیشتر شود. با این تعریف آستانه نیروی خارجی به‌ازای ناکوکی‌های مختلف در شکل ۳الف برای سه فاصله مختلف نمایش داده شده است. در این شکل فرکانس  $CS_2$  (مغلوب) ثابت و برابر با  $100$  گیگاهرتز در نظر گرفته شده است. با توجه به‌شکل، زمانی که ناکوکی مثبت است (زمانی که فرکانس مدولاسیون سالیتون غالب بیشتر از فرکانس مدولاسیون سالیتون مغلوب است) نیروی کمتری برای رسیدن به همزمانی حتی برای ناکوکی‌های بالاتر و

نیروی آستانه مربوطه و ناکوکی ۶۰- نشان می‌دهد. واضح است که همزمانی سالیتون‌ها در فواصل دورتر بسیار کندتر اتفاق می‌افتد و این در حالی است که نیروی کافی برای این مقدار ناکوکی وجود دارد. به علاوه بر پایه این حقیقت که زمان پاسخ در یک فاصله ثابت، تحت تأثیر نیرو و ناکوکی قرار نمی‌گیرد می‌توان این طور نتیجه گرفت که در صورت کافی بودن نیرو برای ناکوکی و فاصله مربوطه همزمانی در چندپیکو ثانیه اتفاق می‌افتد و در صورت ناکافی بودن نیرو همزمانی اصلاً اتفاق نمی‌افتد.



برای فواصل بسیار نزدیک دو سالیتون و بهازای نیروی بسیار زیاد ممکن است.



شکل ۳. الف: آستانه همزمانی (سوئیچ زنی) از نظر نیروی خارجی زمانی که فرکانس سالیتون مغلوب ثابت و برابر با ۱۰۰ گیگاهرتز است در حالی که دامنه و فرکانس مدولاسیون سالیتون غالب متغیر است. ب: آستانه همزمانی (سوئیچ زنی) از نظر نیروی خارجی زمانی که فرکانس سالیتون غالب ثابت و برابر با ۱۰۰ گیگاهرتز است.

زمان پاسخ نانسوئیچ نیز به عنوان دومین پارامتر مهم بهازای فواصل مختلف دو سالیتون و شدت و فرکانس مدولاسیون مورد مطالعه و بررسی قرار گرفت. نتایج نشان داد که زمان پاسخ بهازای یک فاصله ثابت، مستقل از نیرو و ناکوکی است. اگرچه این زمان با افزایش فاصله سالیتون‌ها به صورت نمایی افزایش می‌یابد. به عنوان مثال شکل ۴ طیف گرفته شده از سالیتون مغلوب  $CS_2$  را بهازای فواصل مختلف دو سالیتون در

## مراجع

- [1] J.T. Wolfson, R.W. Boyd, Nonlinear Optics, Third Edition, 3rd ed., USA: Academic Press, Inc., Orlando, FL, (2008).
- [2] D.A.B. Miller, Device requirements for digital optical processing **10257** (1990) 68–76. <https://doi.org/10.1117/12.2283569>
- [3] D.A.B. Miller, Are optical transistors the logical next step?, *Nature Photonics* **4** 1 (2010) 3–5. [https://www.nature.com/articles/nphoto\\_n.2009.240](https://www.nature.com/articles/nphoto_n.2009.240)
- [4] S. Barland *et al.*, Cavity solitons as pixels in semiconductor microcavities, *Nature* **419** 6908 (2002) 699–702. <https://www.nature.com/articles/nature01049>
- [5] E. Taghavi, M. Eslami, R. Kheradmand, Coherent and incoherent switching of cavity solitons in an optically injected VCSEL, *Journal of Optics* **21** 1 (2019) 015402. <https://iopscience.iop.org/article/10.1088/2040-8986/aaf2ab/meta>
- [6] M. Eslami, S.Z. Gandomani, F. Prati, H. Tajalli R. Kheradmand, Ultra low-energy switch based on a cavity soliton laser with pump modulation, *Journal of Optics* **19** 1 (2017) 015502. <https://iopscience.iop.org/article/10.1088/2040-8986/19/1/015502/meta>
- [7] M. Eslami, R. Kheradmand, P. Bahari, H. Tajalli, Twin laser cavity solitons in a VCSEL with saturable absorber, *European Physical Journal D* **69** 9 (2015). <https://link.springer.com/article/10.1140/epjd/e2015-60261-x>

شكل ۴. طیف نوسانات شدت سالیتون مغلوب که فرکانس نوسانات را بر حسب زمان با استفاده از شدت آستانه مربوطه نشان می‌دهد. ناکوکی ۶۰–۶ در نظر گرفته شده و فواصل جدایی سالیتون‌ها الف: ۸ واحد فضایی ب: ۱۲ واحد فضایی ج: ۱۶ واحد فضایی در نظر گرفته شده است. که فرکانس نوسانات سالیتون مغلوب از ۱۶۰ گیگاهرتز به ۱۰۰ گیگاهرتز (فرکانس نوسانات سالیتون غالب) بعد از زمان الف: ۲۳۷، نانوثانیه ب: ۰، ۴۶۸ نانوثانیه ج: ۰، ۵۴۹ نانوثانیه سوئیچ می‌کند.  $J = 20\%$

## بحث و نتیجه‌گیری

هم‌زمانی سالیتون‌های کاواک در یک لیزر نشر کننده از سطح کاواک با تزریق خارجی مورد مطالعه و بررسی قرار گرفت. در این سیستم تزریق خارجی باعث آزادی فاز نوسانات سینوسی سالیتون‌های مدوله شده می‌شود و زمانی که شدت تزریق خارجی به اندازه کافی قوی باشد سیستم از ناحیه ناپایدار هوپف وارد ناحیه پایدار قفل شدگی تزریق می‌شود و امکان همزمانی آنها را فراهم می‌کند. از طرفی زمانی که ناکوکی فرکانسی بین دو سالیتون غیر صفر است، اگر نسبت شدت مدولاسیون یک سالیتون به دیگری به اندازه کافی بالا باشد، فرکانس نوسان دو سالیتون یکی می‌شود. به عبارتی سالیتون مغلوب مجبور به نوسان با فرکانس سالیتون غالب می‌شود. زمان داده شد که برای ناکوکی‌های بزرگتر، زمانی که فرکانس سالیتون غالب ثابت است، نیروی بیشتری برای ایجاد همزمانی لازم است در حالی که با ثابت بودن فرکانس مغلوب نیروی کمتری برای برقراری همزمانی در ناکوکی‌های بیشتر مورد نیاز است. در نهایت با مطالعه پاسخ فرکانسی فرآیند همزمانی یک نانوسوئیچ فرکانسی با زمان سوئیچزنی در حد چند دهم نانوثانیه گزارش شد.

- based on dissipative Kerr and quadratic cavity solitons, *Progress in Quantum Electronics* **86** (2022) 100437. <https://doi.org/10.1016/j.pquantelec.2022.100437>
- [15] G.L. Oppo, D. Grant, M. Eslami, Temporal cavity solitons and frequency combs via quantum interference, *Physical Review A* **105** 1 (2022) L011501. <https://doi.org/10.1103/PhysRevA.105.L01501>
- [16] H. Bao *et al.*, Laser cavity-soliton microcombs, *Nature Photonics* **13** 6 (2019) 384–389. <https://www.nature.com/articles/s41566-019-0379-5>
- [17] S.R. Anbardan, R. Kheradmand, F. Prati, Cavity solitons synchronization, *Journal of Nanophotonics* **13** 1 (2018) 12502. <https://doi.org/10.1117/1.JNP.13.012502>
- [18] X. Hachair *et al.*, Cavity solitons in a driven VCSEL above threshold, *IEEE Journal of Selected Topics in Quantum Electronics* **12** 3 May (2006) 339–350. <https://doi.org/10.1109/JSTQE.2006.872711>
- [19] M. Eslami, R. Kheradmand, G. Hashemvand, The effect of nonlinear gain on the characteristics of an optically injected VCSEL and cavity solitons, *Optical and Quantum Electronics* **46** 2 (2014) 319–329. <https://link.springer.com/article/10.1007/s11082-013-9762-5>
- [20] M. Eslami, R. Kheradmand, K.M. Aghdami, Complex behavior of vertical cavity surface emitting lasers with optical injection, *Physica Scripta*, **T157** T157 (2013) 14038. [8] F. Prati, L.A. Lugiato, G. Tissoni, M. Brambilla, Cavity soliton billiards, *Physical Review A atomic, molecular, and optical physics* **84** 5 (2011) 1–6. <https://doi.org/10.1103/PhysRevA.84.053852>
- [9] M. Turconi, F. Prati, S. Barland, G. Tissoni, Excitable solitons in a semiconductor laser with a saturable absorber, *Physical Review A atomic, molecular, and optical physics* **92** 5 (2015) 1–7. <https://doi.org/10.1103/PhysRevA.92.053855>
- [10] S. Ahmadipanah, R. Kheradmand, F. Prati, Enhanced Resonance Frequency and Modulation Bandwidth in a Cavity Soliton Laser, *IEEE Photonics Technology Letters* **26** 10 (2014) 1038–1041. <https://doi.org/10.1109/LPT.2014.2312735>
- [11] S. Ahmadipanah, R. Kheradmand, F. Prati, Scaling law for dynamical hysteresis of cavity solitons, *Journal of Optics* **18** 2 (2016) 025504. <https://iopscience.iop.org/article/10.1088/2040-8978/18/2/025504/meta>
- [12] M. Eslami, R. Kheradmand, All optical logic gates based on cavity solitons with nonlinear gain, *Optical Review* **19** 4 (2012) 242–246. <https://link.springer.com/article/10.1007/s10043-012-0037-3>
- [13] M. Rowley *et al.*, Self-emergence of robust solitons in a microcavity, *Nature* **608** 7922 Aug. (2022) 303–309. <https://www.nature.com/articles/s41586-022-04957-x>
- [14] M. Nie, Y. Xie, B. Li, S.W. Huang, Photonic frequency microcombs

potential of cavity solitons, *Physical Review E* **97** 3 (2018) 1–5.  
<https://doi.org/10.1103/PhysRevE.97.032208>

<https://iopscience.iop.org/article/10.1088/0031-8949/2013/T157/014038>

[21] A. Pikovsky, M. Rosenblum, Synchronization: A general phenomenon in an oscillatory world, *Nova Acta Leopoldina NF* **88** 332 (2003) 255–268.

[22] S.R. Anbardan, C. Rimoldi, R. Kheradmand, G. Tisconi, F. Prati, Exponentially decaying interaction